

تشخیص خطای امپدانس بالادر شبکه توزیع توسط الگوریتم فازی خوش‌سازی

محمد فرخی

مجید حاجتی پور

دانشکده مهندسی برق دانشگاه علم و صنعت ایران

کلمات کلیدی: خطای امپدانس بالا، منطق فازی، الگوریتم خوش‌سازی، EMTP

چکیده

۱- مقدمه:

خطای امپدانس بالا به آن دسته از خطاهایی تعلق می‌گیرند که به علت جریان کم آنها، تجهیزات حفاظتی از قبیل فیوزها، کلیدهای وصل مجدد و رله‌ها تحریک نمی‌شوند. در نتیجه فقط روش‌های بسیار حساس می‌توانند اطمینان کافی را برای تشخیص این نوع خطاهای ارائه دهند. وجود این حساسیت زیاد می‌تواند منجر به قطع اشتباہی خطوط و ایجاد سیستمی باقابلیت اطمینان کمتر شود^[۱]. این نوع خطاهای عموماً به دو صورت اتفاق می‌افتد، یا ممکن است هادی با یک جسم امپدانس بالا مانند شاخه‌های درخت تماس پیدا کند، و یا هادی بریده شده و بر روی زمین (خاک خشک شن و ماسه‌ای، آسفالت و نظایر آنها) بیافتد^[۲]. بر طبق گزارشات، رله‌های حفاظتی، تنها بین ۵۰ تا ۶۰ درصد خطاهای امپدانس بالا را تشخیص می‌دهند^[۳]. عدم تشخیص این خطاهای منجر به بروز مشکلاتی از جمله ایجاد خطر آتش سوزی و برق گرفتگی می‌شوند^[۴]. علاوه بر این، وجود خطای امپدانس بالا علاوه بر اتلاف انرژی، تهدیدی برای امنیت شبکه به حساب می‌آید زیرا فیدرهای توزیع به

این مقاله به تشخیص خطای امپدانس بالا بر اساس سیستم فازی خوش‌سازی، می‌پردازد. از مهمترین مزیتهای روش فازی خوش‌سازی، سادگی ساختار، سرعت آموزش بالای آن، و عدم وابستگی این روش به دانش فرد خبره جهت آموزش می‌باشد و می‌تواند بوسیله تعدادی داده نمونه، آموزش یابد. شاخصهایی که به عنوان ورودی سیستم فازی بکار می‌روند عبارتند از اندازه جریان هارمونیک اول، سوم، پنجم، تفاضل هارمونیک سوم و پنجم، زاویه هارمونیک سوم و اندازه مولفه صفر هارمونیک جریان اصلی فاز، می‌باشد. مجموعه آموزشی سیستم فازی، از طریق شبیه‌سازی توسط نرم افزار EMTP، بر روی حالتهای عادی شبکه، مانند کلیدزنی بانک خازنی و بار عادی و همچنین بر روی حالتهای مانند خطا بر روی خاک شن و ماسه‌ای، آسفالت و خاک خشک، بدست می‌آید. در این مقاله نتایج آزمایش الگوریتم تشخیص خطای امپدانس بالا بر روی چند حالت نمونه آزمایش شده و کارایی بالای بکارگیری این روش جهت تشخیص خطای امپدانس بالا را نشان می‌دهند.

نیم سیکلی صورت گرفته است. با توجه به این که در هنگام وقوع خطای امپدانس بالا، شکل موج جریان خطای به علت تولید قوس الکتریکی تخریب می‌شود، بنابراین در این روش از دو مشخصه فلیکر و عدم تقاضا نیم سیکلی شکل موج جریان برای آشکارسازی استفاده شده است. منظور از فلیکر، رفتار تصادفی جریان خطای است که از مقایسه پیک مثبت یک سیکل با سیکل قبل و بعد از آن بدست می‌آید. محلودیت استفاده از این روش آن است که بسیاری از فعالیتهای عادی سیستم قدرت، ممکن است شکل موجهای مشابه خطای امپدانس بالا داشته باشند. در [۱۲] و [۱۳]، آشکارسازی خطای امپدانس بالا با استفاده از تغییر انرژی مولفه‌های فرانکانس بالا (۲۰ هرتز تا ۱۰ کیلو هرتز) صورت می‌گیرد. ولی هنگام وقوع برخی از کلیدزنی‌ها در سیستم قدرت، مانند کلیدزنی بانک خازنی که سیم خشی آن زمین نشده است و کلیدزنی کلیدهای هوایی، نیز افزایش چشمگیری در این محدوده فرانکانسی دیله می‌شود. در نتیجه این روش کمترین مشکلاتی است. در [۱۴] با استفاده از روش کمترین مربعات خطای، ولتاژ حرقه، فاصله و جهت خطای را ترمینال ولتاژ محاسبه می‌نماید و به جواب خوبی می‌رسد. در نتیجه می‌توان با استفاده از پارامترهای خط، رله اتورکلوزر را طوری تنظیم نمود تا خطای را تشخیص دهد. ولی از آنجا که در محاسبات از ماتریسی با ابعاد نسبتاً بزرگ معکوس گیری می‌کند، ممکن است دچار مشکل تکین شدن ماتریس شود. در [۴] از شبکه عصبی برای این منظور استفاده کرده است و خروجی شبیه سازی دارای دقت مناسبی می‌باشد، اما برای این کار از محاسبات و تعداد شاخصهای زیادی (ده شاخص) استفاده نموده است. در [۱۵] با استفاده از ترکیب منطقی خصوصیات هارمونیک سوم و پنجم و ترکیب آنها با گیتهای منطقی، خطای تشخیص داده می‌شود. این روش بسیاری از خطاهای امپدانس بالا را نمی‌تواند تشخیص دهد. روشنی که در [۱۶] ارائه شده است، براساس پنج خطه کردن خطوط انتقال چهار خط است، که در آن

طور فرایندهای درجهتی پیش می‌روند که بواسطه مدارات الکترونیکی کنترل شوند. همچنین وجود هارمونیکهای زیاد ایجاد شده از این نوع خطای، می‌تواند بر عملکرد سیستمهای کنترلی تاثیر گذار باشد [۵]. امپدانس خطای در این نوع خطاهای، مجموع مقاومت قوس، مقاومت خاک و مقاومت بین زمین و هادی می‌باشد. مقاومت قوس، شدیداً غیر خطی است و علت آن تغییر سطح تماس هادی با خاک در هنگام گسترش قوس، تولید شیشه‌های کربید سیلیکون به علت حرارت تولید شده توسط قوس در خاک و دلایل دیگر می‌باشد [۶]. غیر خطی بودن مقاومت باعث اعوجاج شکل موج جریان خطای شده و این اعوجاج باعث تولید هارمونیک‌ها و مولفه‌های فرانکانس بالا می‌شود که این مولفه‌ها می‌توانند به عنوان شاخص‌هایی برای آشکارسازی خطای امپدانس بالا در نظر گرفته شوند. از آنجا که گذراهای مربوط به کلیدزنی‌های عادی سیستم قدرت به خصوص بانک خازنی و بعضی بارهای الکتریکی، شکل موجی مشابه با شکل موجهای خطای امپدانس بالا دارند، تمایز آنها از یکدیگر از مهمترین مسائل آشکارسازی خطای امپدانس بالا بوده که در الگوریتم‌های آشکارسازی باید مدنظر قرار گیرند. در سالهای اخیر کارهای فروانی در زمینه آشکارسازی خطای امپدانس بالا صورت گرفته که به طور خلاصه بدین شرح می‌باشد. در [۷] و [۸] تشخیص خطای بر اساس مقایسه تغییرات هارمونیک سوم قبل و بعد از خطای صورت می‌گیرد. عیب این روش آن است که اثر دیگر هارمونیک‌ها را در نظر نمی‌گیرد و تنها به هارمونیک سوم اتکا کردن چندان قابل اطمینان نمی‌باشد. در [۹] و [۱۰] با استفاده از تبدیل موجک مولفه‌های ۵ هرتز تا ۱۰ کیلو هرتز شکل موج جریان استخراج شده و آشکارسازی خطای انجام می‌شود. عیب این روش پیدا کردن یکتابع موجک اصلی مناسب است که باید از طریق تجربه بدست آید. در [۶] و [۱۱] آشکارسازی با استفاده از فلیکر و عدم تقاضا

فازی تشکیل شده است. در الگوریتم‌های مختلف فازی روش‌های متفاوتی برای تعیین مناسب این پایگاه قواعد بکار گرفته می‌شود. در روش گرادیان نزولی برای تعیین پایگاه قواعد، از روش نزولی‌ترین شبیه استفاده می‌شود. که وابستگی زیادی به حدس اولیه برای توابع عضویت دارد و در صورت حدس اولیه نادرست الگوریتم چهار مینیمم محلی می‌شود. روش فازی ممدادنی که اساس آن بر پایه تجربه شخص خبره و سعی و خطای باشد، در سیستمهایی که دانش فرد خبره وجود ندارد، چهار مشکل می‌شود. در روش‌های عددی، مانند روش خوش‌سازی که این مقاله بر اساس آن انجام شده است، داده‌های ورودی و خروجی نزدیک به هم در یک خوش‌سازی غیرخطی توانایی بالای دارد.

۱-۲-الگوریتم فازی خوش‌سازی

ایده اصلی این روش، گروه بندی زوج های ورودی- خروجی در خوش‌های مختلف و استفاده از یک قاعده برای هر خوش‌سازی می‌باشد. یکی از ساده‌ترین الگوریتم‌های خوش‌سازی، الگوریتم خوش‌سازی نزدیک ترین همسایگی است. در این الگوریتم ابتدا اولین داده در مرکز اولین خوش‌سازی قرار می‌گیرد. آنگاه اگر فاصله یک داده نسبت به مرکز خوش‌سازی کوچکتر از یک مقدار مشخص^(۲)، باشد آن را در این خوش‌سازی قرار می‌دهیم در غیر این صورت آن به عنوان مرکز یک خوش‌سازی جدید در نظر گرفته می‌شود. لازم به ذکر است که توابع عضویت در این روش فازی، به صورت گوسی می‌باشند. فلوچارت آموزشی این الگوریتم در ضمیمه الف، نشان داده شده است^[۱۹]. پس از آموزش سیستم فازی با وارد کردن داده ورودی، خروجی سیستم فازی از رابطه زیر به دست می‌آید.

تشخیص خطای ساده‌تر می‌شود، اما این کار هزینه زیادی را در بر دارد. در^[۱۷] از تغییرات اندازه هارمونیک دوم، سوم و پنجم و زاویه هارمونیک سوم برای تشخیص خطای استفاده نموده است. در این مقاله از منطق فازی به عنوان روشنی هوشمند، و با بکار گیری شش شاخص مناسب جریان فاز، جهت تشخیص خطای امپدانس بالا استفاده گردیده است. روش‌های هوشمند مانند شبکه‌های عصبی و سیستمهای پیچیده وغیر خطی دارند. با مدل کردن سیستمهای پیچیده این روش می‌باشد می‌شود که سیستمهای فازی، ساختاری ساده‌تر، حجم محاسباتی کمتر و سرعت اجرایی بیشتری نسبت به شبکه‌های عصبی دارند. با بکار گیری و مقایسه چهار روش از معروف‌ترین الگوریتم‌های فازی یعنی الگوریتم گرادیان نزولی، فازی ممدادنی، فازی C میانگین و فازی خوش‌سازی، جهت تشخیص خطای امپدانس بالا، مشاهده می‌شود که در دو روش اول به تجربه شخص خبره جهت ایجاد پایگاه قواعد فازی نیاز است و در روش سوم حجم محاسبات نسبت به بقیه بیشتر است. در این مقاله با بکار گیری روش فازی خوش‌سازی، که دارای مزایای از جمله عدم نیاز به تجربه شخص خبره جهت آموزش آن، سادگی ساختار و حجم محاسباتی نسبتاً پایینی است، تشخیص خطای امپدانس بالا ساده‌تر می‌شود. به منظور آموزش سیستم فازی خوش‌سازی می‌بایستی با شبیه سازی یک فیدر توزیع و شبیه سازی انواع خطاهای بر روی آن وهمچنین استخراج شاخص‌های مناسبی از آنها، یک مجموعه آموزشی تهیه شود. معرفی شاخص‌های مناسب جهت آموزش، در قسمتهای بعدی مقاله معرفی می‌شوند.

۲- منطق فازی

منطق فازی برای اولین بار توسط پروفسور لطفی‌زاده در سال ۱۹۶۵ معرفی گردید. سیستمهای فازی، سیستمهایی مبتنی بر دانش یا قواعد می‌باشند. قلب سیستم فازی، پایگاه دانش بوده که از قواعد اگر-آنگاه

گرفته می‌شود، که در بخش‌های بعدی این شاخص‌ها معرفی می‌شوند.

۳- شبیه سازی فیدر توزیع

۱-۳- ماهیت جرقه خطای امپدانس بالا

قبل از آنکه به شبیه سازی فیدر توزیع پرداخته گردد، می‌بایستی ماهیت و روابط حاکم بر جرقه، شناخته شوند تا بتوان آن را شبیه سازی نمود. شکل ۱، شکل موج جریان و ولتاژ جرقه را بر حسب زمان نمایش می‌دهد [۱۸]. جرقه در زمان T_a ، هنگامیکه ولتاژ اعمالی به ولتاژ شکست V_r می‌رسد، شروع به هدایت می‌کند. بالاصله پس از وقوع جرقه، ولتاژ به میزان ولتاژ جرقه، یعنی V_a افت می‌کند و تا زمانی که جرقه وجود دارد، در مقداری ثابت باقی می‌ماند. اندازه جریان جرقه ($i(t)$)، در زمان T_b ، هنگامیکه ولتاژ اعمالی با ولتاژ جرقه برابر شد، به مقدار ماکریم می‌رسد. جریان در زمان T_c ، هنگامیکه مساحت ناحیه A با مساحت ناحیه B، برابر می‌شود، به صفر می‌رسد. این روند در نیم سیکلهای بعدی نیز ادامه می‌یابد بنابراین

$$\int_{T_a}^{T_b} (V_m \sin(wt) - V_a) dt = \int_{T_b}^{T_c} (V_a - V_m \sin(wt)) dt \quad (2)$$

زمان هدایت جرقه در هر نیم سیکل به صورت زیر است.

$$\Delta T = T_c - T_a \quad (3)$$

از آنجایی که مدت زمان جاری بودن جریان جرقه معمولاً خیلی بزرگتر از مدت زمانی است که این جریان صفر می‌شود، لذا می‌توان فرض کرد که

$$\sin(w\Delta T) = \pi - w\Delta T \quad (4)$$

با حل معادله انتگرالی (۴) و در نظر گرفتن معادلات (۳) و (۴) می‌توان نشان داد که

$$\Delta T = \frac{\sqrt{w} \cos(wT_a) + \pi \sqrt{w} \sin(wT_a)}{V_a \sqrt{V_b} + \sin(wT_a)} \quad (5)$$

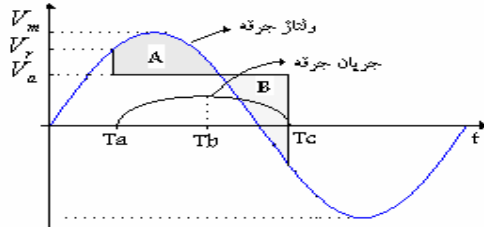
$$T_a = \frac{1}{w} \sin^{-1} \left(\frac{V_r}{V_m} \right) \quad (6)$$

$$(1) \quad f(x) = \frac{\sum_{l=1}^M A^l \cdot \exp \left[-\frac{|x - x_c^l|^2}{\sigma} \right]}{\sum_{l=1}^M B^l \cdot \exp \left[-\frac{|x - x_c^l|^2}{\sigma} \right]}$$

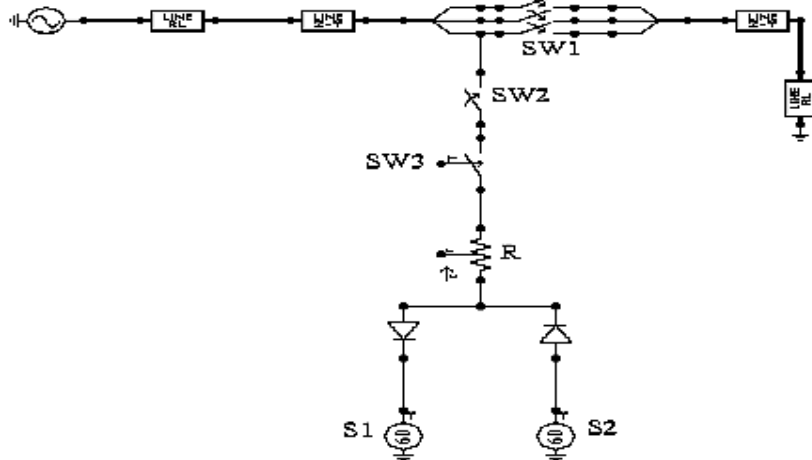
که در آن x ورودی سیستم فازی، $f(x)$ خروجی سیستم فازی و x_c^l مرکزتابع عضویت خوش l ام و σ عرض توابع گوسی M تعداد خوش‌های ایجاد شده و N تعداد داده‌های آموزشی می‌باشد و همچنین A^l و B^l ضرایبی هستند که در الگوریتم آموزش استفاده می‌شوند. هر چه شعاع همگرایی (I)، کوچکتر باشد، دقت سیستم فازی طراحی شده بیشتر می‌شود ولی در عوض تعداد خوش‌ها و حجم محاسباتی بیشتر می‌شود. در ضمن کوچکتر بودن σ باعث می‌شود که توانایی تقریب خطی، توسط سیستم فازی بیشتر شود. پارامترهای σ و I بر حسب دقت دلخواه و بر اساس سعی و خطا تعیین می‌شوند.

۳- پیش‌پردازش داده‌ها

برای آشکار سازی خطای امپدانس بالا توسط سیستم فازی، مراحل زیر باید انجام شود: (الف) نمونه برداری و پیش‌پردازش جریانهای خطای امپدانس بالا، کلید زنی و بار عادی بر روی فیدر توزیع و تهیه مجموعه آموزشی. (ب) استفاده از این مجموعه و استخراج شاخص‌های مناسب از آنها به منظور آموزش سیستم فازی. (ج) آزمایش سیستم فازی با ورودی‌های متفاوت با مجموعه آموزشی. در قسمت اول با شبیه سازی کامپیوتری توسط EMTP بر روی فیدر توزیع، حالتهای مختلف خطأ و شرایط عادی، انجام می‌شود. از جریان شبیه سازی شده با نرخ ۳۰ نمونه در سیکل نمونه برداری می‌شود. ولی از آنجا که نمی‌توان آنها را مستقیماً به سیستم فازی جهت آموزش اعمال کرد، شاخص‌ها و ویژگی‌های مشخصی از شکل موجها استخراج کرده و آنها را به عنوان ورودی‌های آموزشی سیستم فازی در نظر



شکل ۱ : شکل موج جریان و ولتاژ جرقه



شکل ۲ : مدل فیدر توزیع همراه با مدل خطای امپدانس بالادر EMTP

شود، با یک جسم امپدانس بالا تماس پیدا می‌کند. برای شبیه سازی حالت اول، کلید ۱ باز و کلید ۲ به طور همزمان بسته می‌شود. در حالت دوم، چون هادی برپا نمی‌شود، بنابراین جریان در پست توزیع معادل جریان بار به اضافه جریان خطا می‌باشد. درین حالت کلید ۱ بسته می‌ماند ولی کلید ۲ در هنگام بروز خطا بسته می‌شود. کلید شماره ۳، یک کلید کترل شده با TACS می‌باشد (TACS)، یکی از ابزارهای موجود در نرم افزار EMTP است که به منظور ایجاد عناصر با پارامترهای متغیر به کار می‌رود. این کلید کترول شده با TACS وظیفه کترول شروع مجدد جرقه و خاموش کردن آن را بر عهده دارد. کلید ۳ هنگامی بسته می‌شود که ولتاژ ورودی از ولتاژ شکست، یعنی V_r ، بزرگتر شده و جرقه شروع به هدایت کند. کلید ۳، مادامی که جرقه به هدایت خود ادامه می‌دهد بسته می‌ماند و هنگامی که جرقه خاموش می‌شود، یا به عبارتی هنگامی که $t > T_c$ گردد کلید ۳ باز خواهد شد. این عمل در هر نیم سیکل تکرار خواهد شد. در شبیه سازی‌ها ولتاژ شکست در هر نیم سیکل به صورت یک

$$\Delta T = \frac{\pi V_r + 2\sqrt{(V_m^2 + V_r^2)}}{w(V_a + V_r)} \quad (V)$$

معادله (۷) بیانگر این نکته است که زمان هدایت جرقه، به ولتاژ شکست V_r ، پیک ولتاژ اعمالی V_m ، و ولتاژ جرقه V_a بستگی دارد. از روابط بالا برای شبیه سازی جرقه خطای امپدانس بالا، استفاده می‌شود.

۲-۳- مدل کردن خطای امپدانس بالادر شبیه سازی

در این مقاله برای شبیه سازی خطای امپدانس بالا از مدلی که توسط مرجع (۱۷) معرفی شده است، استفاده می‌شود که در شکل ۲ نشان داده شده است. در شکل ۲ کلیدهای ۱ و ۲، کلیدهای کترول شده با زمان هستند. وظیفه این کلیدها، ایزوله کردن فیدر از بار و فراهم نمودن مسیر خطا به طور همزمان می‌باشد. همان طور که قبل ذکر شد، خطای امپدانس بالا عموماً در دو حالت رخ می‌دهد. یا هادی برپا می‌شود و بر روی جسم امپدانس بالا می‌افتد و یا اینکه هادی بدون این که برپا

پردازشگر از هر سیکل استخراج می‌شوند. که بدین
شرح اند:

(الف) اندازه نسبی مولفه اصلی جریان (بر حسب درصد):
اختلاف اندازه هارمونیک اصلی سیکل جاری با مولفه
اصلی جریان عادی، تقسیم بر اندازه مولفه اصلی جریان
عادی ضربدر صد.

(ب) اندازه نسبی مولفه سوم جریان (بر حسب درصد):
اختلاف اندازه هارمونیک سوم سیکل جاری با هارمونیک
سوم جریان عادی، تقسیم بر اندازه مولفه اصلی جریان
عادی ضربدر صد.

(ج) اختلاف نسبی اندازه هارمونیک سوم و پنجم (بر حسب
درصد):

اختلاف اندازه هارمونیک سوم سیکل جاری با هارمونیک
پنجم سیکل جاری، تقسیم بر اندازه مولفه اصلی جریان
عادی ضربدر صد.

(د) اندازه نسبی مولفه پنجم جریان (بر حسب درصد):
اختلاف اندازه هارمونیک پنجم سیکل جاری با هارمونیک
پنجم جریان عادی، تقسیم بر اندازه مولفه اصلی جریان
عادی ضربدر صد.

(ه) تغییرات اندازه جریان توالی منفی هارمونیک
اصلی (درصد)

(و) فاز هارمونیک سوم (بر حسب درجه):
اختلاف فاز بین هارمونیک سوم جریان سیکل جاری و
مولفه اصلی ولتاژ.

این شش پارامتر بر روی ۳۰ سیکل متوسطگیری شده و
سپس به عنوان یک مجموعه آموزشی در نظر گرفته
می‌شوند. دلایل انتخاب این شش پارامتر به شرح زیر
است:

۱- اندازه هارمونیک اصلی جریان از قبل تا بعد از خطای
امپدانس بالا تغییرات چشمگیری از خود نشان می‌دهد.
نتایج شبیه سازی تأیید کننده این مسئله می‌باشد. در نتیجه
می‌توان آن را به عنوان یک شاخص برای تشخیص خطای
امپدانس بالا در نظر گرفت.

متغیر تصادفی فرض می‌شود. در نتیجه برای کنترل
خاموش و روشن شدن کلید ۳، از معادلات ۲ الی ۷
استفاده می‌شود. مقاومت غیر خطی R نیز یک مقاومت
کنترل شونده با TACS است، که این مقاومت بیانگر
مقاومت جرقه خطای امپدانس بالا می‌باشد و از رابطه
زیر بدست می‌آید:

$$dG/dt + BG = i(t)/A \quad (8)$$

که در آن $i(t)$ جریان کلید ۳ و $G(t) = 1/R$ رسانایی
جرقه می‌باشند. ثابت A بیانگر وابستگی مقاومت جرقه
به جنس خاک و میزان رطوبت خاک می‌باشد. ثابت B
ثابت زمانی معادله دیفرانسیل است. در مدلی که توسط
مرجع [۱۷] معرفی شده است در آن به جای منابع ولتاژ
S1 و S2 از منابع ثابت استفاده شده است ولی از آنجا
که در عمل این ولتاژها می‌باشند متغیر با زمان باشند تا
ماهیت غیر خطی جرقه را نشان دهند از این‌رو در این
مقاله به جای آنها از منابع ولتاژ دندان ارهای استفاده
می‌شود. نتایج شبیه سازی برای نمونه بر روی دو نوع
خطا در شکل ۳، نشان داده شده‌اند.

۴- انتخاب شاخص‌های مناسب برای آموزش سیستم فازی

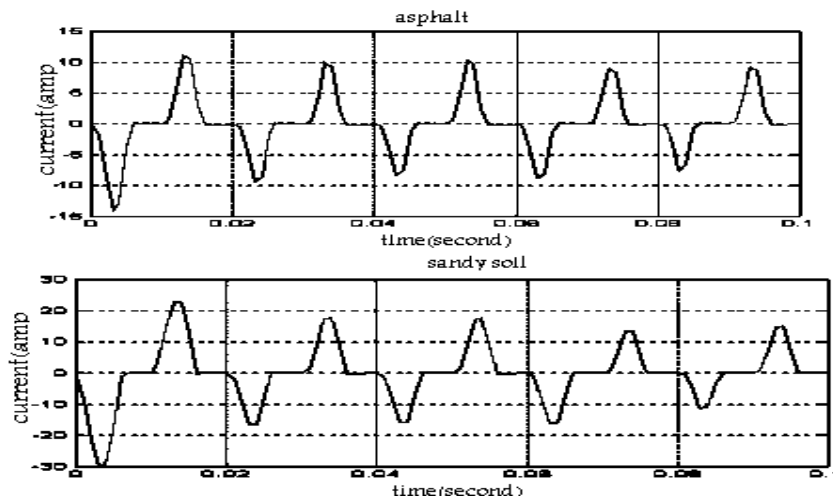
برخی از خصوصیات جریان خطای امپدانس بالا با
خصوصیات جریان حاصل از کلیدزنی بانک خازنی،
تغییر تپ ترانسفورماتورها و بارهای الکترونیک قدرت
مشابه هستند. به همین منظور سیستم فازی می‌باشند
توسط شاخص‌هایی آموزش یابد که بتواند خطای
امپدانس بالا را از حالتهای دیگر شبکه توزیع تمایز دهد.
به همین منظور شاخص‌های خاصی از جریان خط از هر
سیکل می‌باشند توسط پیش پردازشگر استخراج شوند
و آنها را به عنوان ورودی‌های سیستم فازی، جهت تعلمی
الگوریتم فازی آماده نمایند. در ابتدای مقاله،
شاخص‌های مختلفی که توسط محققان زیادی مورد
بررسی قرار گرفته‌اند، معرفی شدند. در این مقاله، شش
پارامتر جریان خط به عنوان شاخص توسط پیش

۴- در هنگام وقوع خطای امپدانس بالا، اختلاف بین تغییرات اندازه هارمونیک سوم و پنجم جریان خطای می‌تواند به عنوان شاخص مناسی انتخاب شود. نتایج شبیه سازی تایید کننده این مسئله می‌باشد.

۵- در حالت وقوع این نوع خطای خطا، جریان توالی منفی تولیدی بوسیله خطا با جریان توالی منفی بارعادی سیستم قدرت جمع آثار می‌شود. افزایش این جریان می‌تواند به عنوان شاخص خطای در نظر گرفته شود.

۲- هارمونیک سوم جریان تغییرات چشمگیری از قبل تا بعد از وقوع خطای نشان می‌دهد (هم از لحظه اندازه و هم از نظر فاز). نتایج شبیه سازی تایید کننده این مسئله می‌باشد. میزان تولید این هارمونیک، به میزان غیرخطی بودن خطای بستگی دارد.

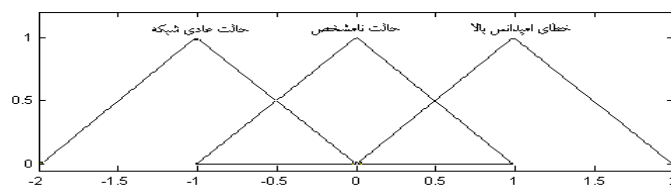
۳- شبیه سازی ها نشان می‌دهد که اندازه پنجمین هارمونیک جریان خطای امپدانس بالا بر خلاف حالت کلید زنی، در هنگام وقوع خطای افزایش می‌یابد، و می‌تواند به عنوان شاخص خطای انتخاب شود.



شکل (۳): شبیه سازی بر روی یک نمونه آسفالت (بالا) و خاک شن و ماسه ای (پایین)

جدول (۱): محدوده تغییرات شش شاخص، بر اساس نتایج شبیه سازی. اعداد داخل هر خانه به ترتیب از چپ به راست: Mean, Max, Min

حالات	هارمونیک ۱ (%)	هارمونیک ۲ (%)	هارمونیک ۳ (%)	اندازه هارمونیک ۵ (%)	اندازه هارمونیک ۴ (%)	اندازه هارمونیک ۳ (%)	اندازه هارمونیک ۲ (%)	اندازه هارمونیک ۱ (%)
بار عادی	۰ ۰ ۰	۱۰ ۱۰ ۱۰	۱ ۱ ۱	۱۰ ۱۰ ۱۰	۱۰ ۱۰ ۱۰	۰ ۰ ۰	۰ ۰ ۰	۰ ۰ ۰
آسفالت	۴,۲ ۱۰,۲ ۹,۶	۵۸ ۸۵ ۶۲	۴ ۷ ۵	۵۰ ۸۰ ۷۰	۵۸ ۸۸ ۷۵	۴۲ ۹۰ ۸۵	۴۲ ۹۰ ۸۵	۴۲ ۹۰ ۸۵
خاک شن و ماسه	۳ ۱۰ ۹	۵۲ ۷۲ ۵۷	۷ ۱۶ ۱۰	۳۶ ۶۵ ۴۸	۵۲ ۷۲ ۵۸	۲۰ ۸۲ ۷۵	۲۰ ۸۲ ۷۵	۲۰ ۸۲ ۷۵
خاک خشک	۲,۱ ۹,۶ ۸,۵	۵۲ ۷۰ ۵۶	۸ ۲۳ ۳	۲۷ ۶۲ ۴۲	۵۰ ۷۰ ۵۵	۱۵ ۷۸ ۷۰	۱۵ ۷۸ ۷۰	۱۵ ۷۸ ۷۰
خاک مرطوب	۰,۴ ۵ ۳	۵۲ ۶۲ ۵۵	۲۳ ۳۳ ۳۰	۱۹ ۴۰ ۲۵	۵۲ ۶۲ ۵۵	۰ ۳۹ ۲۲	۰ ۳۹ ۲۲	۰ ۳۹ ۲۲
کلید زنی	۰,۸ ۳,۲ ۰,۸	۰ ۹۰ ۳۸	۰ ۷ ۲	۰ ۸۸ ۳۶	۰ ۹۵ ۳۸	۲ ۱۵ ۸	۲ ۱۵ ۸	۲ ۱۵ ۸



شکل (۴): توابع عضویت خروجی الگوریتم فازی خوش سازی

چند حالت نمونه آزمایش شده است و نتایج آن در جدول ۳ نشان داده شده‌اند.

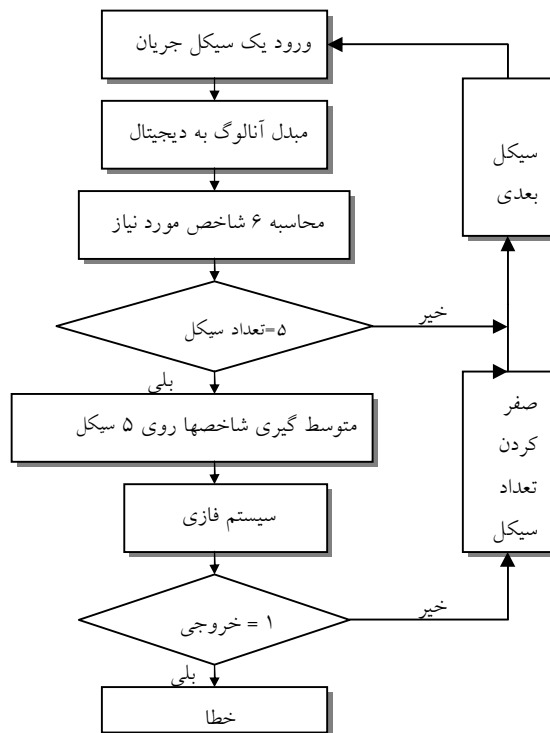
۷- نتیجه گیری

در این مقاله به منظور آشکار سازی خطای امپدانس بالا از روش فازی خوش‌سازی استفاده شد. با مقایسه این روش با دیگر روش‌های انجام شده برای تشخیص خطای امپدانس بالا، مشاهده می‌شود که این روش دارای ساختاری ساده‌تر، سرعت اجرا و آموزش بالا و دقت پاسخ مناسبی است. همچنین روش فازی خوش‌سازی دارای مزیت مهمی است و آن بی‌نیاز بودن از دانش فرد خبره جهت آموزش سیستم فازی است. به منظور آموزش سیستم فازی، بر روی یک فیلتر توزیع، انواع خطاهای امپدانس بالا و شرایط عادی شبیه سازی و از میان آنها شاخص‌های مناسب استخراج شدند. نتایج آزمایش انجام شده بر روی سیستم تشخیص خطای انجام شده در جدول ۳ نشان داده شده اند، گویای توانایی بالای این روش جهت تشخیص خطای امپدانس بالا می‌باشد.

۶- هارمونیک سوم جریان خطای امپدانس بالا از ۱۸۰ تا ۲۲۰ درجه نسبت به ولتاژ پس فاز دارد، که این اختلاف فاز می‌تواند به عنوان شاخص خطای تلقی شود. جدول ۱ محدوده تغییرات این شش پارامتر را پس از شبیه سازی برای انواع حالتها، نشان می‌دهد. از نتایج موجود در این جدول برای آموزش سیستم فازی استفاده می‌شود.

۶- آزمایش و شبیه سازی سیستم فازی

الگوریتم برای ۶ نمونه جریان (آسفالت، خاک خشک، خاک شن و ماسه‌ای، خاک مرطوب، کلیدزنی و بار شبه خطای) مورد آزمایش گرفته است. به این ترتیب که براساس فلوچارت تشخیص خطای در شکل ۵، پس از آنکه از جریان فاز نمونه برداری و از شش شاخص موردنظر برای ۵ سیکل متوسط‌گیری شد، از شش شاخص استخراج شده به عنوان ورودی سیستم فازی (x) استفاده می‌شود و خروجی سیستم فازی بر اساس رابطه (۱)، بدست می‌آید. جدول ۲ مراکز خوش‌های ایجاد شده پس از آموزش سیستم فازی را نشان می‌دهد. همچنین الگوریتم تشخیص خطای بر روی



شکل ۵: فلوچارت آشکار سازی توسط سیستم فازی خوش‌سازی

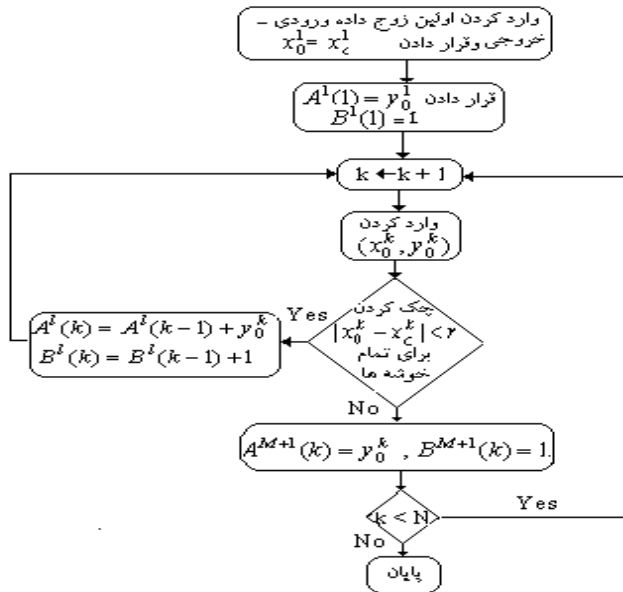
جدول ۳: مراکز خوشه های ایجاد شده مربوط به الگوریتم فازی خوشسازی

شماره خوشه	شاخص (%) ۱	شاخص (%) ۲	شاخص (%) ۳	شاخص (%) ۴	شاخص (%) ۵	شاخص (%) ۶
۱	۱,۵	۱۰	۱	۸,۹	۱۰	۰
۲	۷۸	۶۸	۵,۵	۷۲	۶۴	۹,۶
۳	۷۲	۵۹	۹,۵	۵۰	۵۴,۳	۸,۲
۴	۶۶	۵۲	۱۰	۳۸	۶۲	۶,۶
۵	۲۰	۶۳	۳۱	۲۸	۵۸	۳,۲
۶	۱۲	۶۰	۶	۴۰	۵۵	۳
۷	۱۸	۶۵	۲۰	۳۸	۶۶	۴,۵
۸	۸۲	۶۵	۴,۶	۵۵	۶۴	۶,۵
۹	۳۳	۵۴	۲۶	۲۵	۶۰	۰,۹
۱۰	۳,۵	۷۸	۳	۶۴	۶۴	۲
۱۱	۱۳	۲۸	۰,۸	۳۳	۸۲	۲,۲
۱۲	۱۹	۶۳	۱۸,۶	۵۵	۵۸	۶,۹
۱۳	۱۳	۵۲	۲,۵	۳۲,۸	۳۳	۱
۱۴	۱۹,۵	۵۲	۲۹	۲۲	۵۱,۴	۲,۲۷
۱۵	۱۴	۷۶,۸	۴,۸	۶۸	۶۴,۹	۸,۶
۱۶	۱۲,۵	۳۹	۵,۶	۴۰	۳۵	۱,۱
۱۷	۸۴,۷	۷۶,۹	۵,۲	۷۳,۵	۶۳,۴	۹,۶
۱۸	۲۵,۳	۵۳,۶	۲۸,۷	۲۹,۶	۵۴,۳	۱,۳۹
۱۹	۷,۶	۶۵	۳,۵	۵۹	۴۰	۰,۸

جدول ۲: نتایج آزمایش خطای امپانس بالا برای چند حالت نمونه. (ش یعنی شاخص)

ردیف	نوع داده ورودی	(%) ۱ ش	(%) ۲ ش	(%) ۳ ش	(%) ۴ ش	(%) ۵ ش	(%) ۶ ش	خروجی سیستم فازی
۱	خطا بر خاک شن و ماسه ای	۷۴	۷۰	۹	۶۲	۶۸	۷,۵	۱
۲	کلید زنی	۸	۲۲	۱,۵	۱۲,۵	۲۲	۰,۵	۱-
۳	خطا بر روی آسفالت	۶۵	۷۵	۴,۵	۶۶	۷۲	۶,۲	۱
۴	بار عادی	۰,۱	۱۰	۱	۱۰,۲	۱۰	۰,۲	۱-
۵	خطا بر خاک مرطوب	۲۵	۵۸	۲۷	۳۲	۵۵	۰,۸	۱
۶	خطا بر روی خاک خشک	۲۸	۵۴	۲۵	۲۸	۵۹	۲,۳	۱

ضمیمه الف:



شکل (۶): فلوچارت آموزشی الگوریتم فازی خوشه سازی

مراجع

- [4] Keyhani.R and Deriche.M, "A High Impedance Fault Detector Using A Neural Network and Subband Decomposition", IEEE Conference On Signal Processing, pp.458-461, Aug.2001.
- [5] Gajjar.J.T, "Efficient Model For Component Computing High-Impedance Fault Generated Harmonic Propagatin Effects On Radial Power Feeders", IEEE Conferenc On Distribution Circuit and Systems,vol.5,pp.3031-3034,1991.
- [6] A.F.Sultan and G.W.Swift, "Detecting Arcing Downed Wires Using Fault Current Flicker and Half Cycle Asymmetry", IEEE T-PWRD-9,no.1,pp.461-470, Jan 1994.
- [1] Benner.C and Russel.B,"Practical High Impedance Fault Detection On Distribution Feeders",IEEE.Trans On Industry Application,vol.33, no.3,pp.635-40, May.1997.
- [2] Aucoin.M and Russell.B.D,"Distribution High Impedance Detection Utilizing High Frequency Components", IEEE T-Pas-101, no.6, pp.1596-1606, June 1982.
- [3] Nam.S.R and Park.J.K, "A Modeling Of High Impedance Fault In a Distribution System Using Tow Series Time-Varying Resistances In EMTP", IEEE Conference On Power Engineering Society Summer Meeting, pp.1175-1180, vol.2, 2001.

- [16] Sort.T.A, Stewart.J.R, Smith.D.R, "Five-Wire Distribution System Demonstration Project", IEEE Transactions On Power Delivery, vol.17, no.2, pp.649-654, April 2002.
- [17] Sheng.Y and Rovnyak.S.M, "Decision Tree-Based Methodology For High Impedance Fault Detection", IEEE Transactions On Power Delivery, vol.19, no.2, pp.533-536, April 2004.
- [18] Wang.Li-Xin, A Course In Fuzzy Systems and Control, Prentice Hall,1997.
- [7] Li.J and Kohler.J.L, "New Insight Into The Detection Of High-Impedance Arcing Faults On Dc Trolley Systems", IEEE Conference On Industry Applications, vol.4, pp.2506-2513, 1996.
- [8] Sharaf.A.M and Snider.L.A, "A Third Harmonic Sequence Based Detection Scheme For High Impedance Faults", IEEE Conference On Electrical and Computer Engineering, pp.802-806,1993.
- [9] Wai.D.C.T and Yibin.X, "A Novel Technique For High Impedance Fault Identification", IEEE.T-PWRD-13,pp.738-744, July 1998.
- [10] Johnes.A.T and Aggarwal.Y.H, "Improved Techniques for Modelling Fault Arcs On Faulted EHV Transmition Systems", IEE Proc On Generating, transmition and Distribution,vol.141, no.2, March 1994.
- [11] Jeering.D and Linders.J.R, "Ground Resistive-Revisited", IEEE T.PWRD-4, no.2,pp.949-956, Appril 1989.
- [12] M.Aucoin and Zeigler.B.D.Russell, "Feeder Protection and Monitoring System, Part 1: Design Implementation and Testing", IEEE T-PAS-104,no.4,pp.873-880, April 1985.
- [13] Christie.R and Zadhgole.H,Habib.M, "High Impedance Fault Detection In Low Voltage Networks ", IEEE T-PWRD, no.4, pp.1829-1836, Oct.1993.
- [14] Radojevic.Z and Terzija.V, "Numerical Algorithm For Overhead Lines Arcing Faults Detection and Distance and Directional Protection", IEEE Transactions On Power Delivery,vol.15, no.1, pp.31-37, Jan.2000.
- [15] Khan.S.H and Yu.C.D, "An Adaptive High and Low Impedance Fault Detection Method",IEEE T-PWRD-9,no.4, pp 1812-1820, Oct.1994.